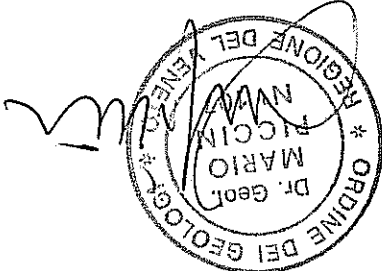


<p>DATA Vittorio Veneto, 09.03.2015</p>	<p style="text-align: right;">Dott. Mario PICCIN GEOLOGO</p> 
<p>COMMITTENTE: Impresa edile F.lli Carlet Valerio & Vito s.r.l.</p> <p>RELAZIONE GEOLOGICA</p> <p>PIANO DI LOTTIZZAZIONE "BELVEDERE"</p> <p>COMUNE DI CORDIGNANO PROVINCIA DI TREVISO</p>	

0. TITOLO

0.1 PROVINCIA DI TREVISO

0.2 COMUNE DI CORDIGNANO

0.3 PROGETTO: Piano di Lottizzazione "Belvedere"

0.4 DITTA COMMITTENTE: Impresa edile F.lli Carlet Valerio & Vito s.r.l. (v. Hermada, 57 - 31016 Villa di Cordignano - TV, P. Iva 01789400262)

0.5 DATA: 09.03.2015

0.6 STUDIO GEOLOGICO dott. Geol. Mario Piccin (Ordine Geologi Veneto n. 107)

via A. Manzoni, 10 - 31029 Vittorio Veneto TV

Tel. e Fax 0438-550686 - E-mail: geopiccin@libero.it

1. INQUADRAMENTO GEOGRAFICO E TOPOGRAFICO - VINCOLI

1.1 Ubicazione dell'area

L'area oggetto di studio è ubicata in Comune di Cordignano (TV), località Villa di Villa, a quote comprese tra 63,5 e 67 m circa s.l.m. (si veda la cartografia C.T.R. allegata, in scala 1: 5.000). E' censita in Catasto al F° 8, particelle n. 204, 205, 301, 302, 303, 304, 369, 370, 371, 372, 505, 916, 921 (si veda la planimetria catastale allegata, senza indicazione di scala).

1.2 Esistenza di vincoli

Con la nuova classificazione sismica, introdotta dall'Ordinanza del Presidente del Consiglio dei Ministri n. 3274 del 20.03.2003 e disposta Deliberazione del C.R.V. n. 67 del 03.12.2003, l'area rientra nella "zona sismica 2".

Quanto al P.A.T. del Comune di Cordignano, nella Carta delle Fragilità (si veda l'estratto P.A.T. allegato), l'area risulta "idonea a condizione" e "non rientra nelle aree esondabili o a periodo ristagno idrico". Nella Carta dei Vincoli, l'area è parzialmente inserita nel "vincolo paesaggistico" DLgs 42/2004 Corsi d'Acqua 379-Sorgente Carron (Riuo di Villa) e lambita dal medesimo vincolo paesaggistico DLgs 42/2004 Corsi d'Acqua 376-Riuo Insuga (Torrente Insuga) (si veda l'allegato estratto del P.A.T., tav. 1 "Carta dei Vincoli"). Invece, nella "Carta della trasformabilità", tav. 4.2, l'area è inserita tra le "aree di urbanizzazione consolidata" (si veda l'estratto P.A.T. allegato).

2. INQUADRAMENTO GEOLITOLOGICO

L'area è litologicamente interessata superficialmente, per uno spessore medio di 4 + 5 m, da una copertura di alluvioni fini, generalmente argille più o meno limoso-sabbiose, talora con livelli più francamente sabbiosi, nella quale sono intercalati depositi ghiaiosi di conoide, in debole spessore, aventi la forma per lo più di lenti irregolari (si vedano le sezioni geologiche schematiche allegate, in scala 1: 500, e l'estratto della Carta Geolitologica di dettaglio, in scala 1: 5.000, relativa al P.R.G. del 1992).

Come evidenziato nelle sezioni, le lenti ghiaiose del conoide sono variamente distribuite risultando più frequenti nella parte meridionale e in quella orientale. Si tratta di sottili lingue di materiali per lo più ghiaioso-ciottolosi, calcarei, con sabbia, dello spessore di alcuni decimetri o al massimo dell'ordine del metro o poco più, immerse, come sopraddetto, in una coltre di materiali fini, argillosi, con limo e sabbia fine più o meno abbondanti.

Il Piano di Lotizzazione prevede la realizzazione di n. 11 lotti edificabili ove si ipotizza la costruzione di fabbricati ad uso residenziale, in linea di massima privi di piano interrato e con 1 + 2 piani fuori terra.

4. TIPOLOGIA EDILIZIA

L'area è stabile, non essendo presenti fenomeni geodinamici in atto e/o potenziali.

Tuttavia, in periodi particolarmente piovosi, l'area a sud di Via don P. Carniel è stata interessata da alluvionamenti. Nello specifico, le abitazioni di Via Col di Lana (circa 150 m verso sud), da quanto riferiscono verbalmente i proprietari, hanno subito una serie di alluvionamenti in diversi momenti (1994, 1998, 2002). Particolarmente gravoso è risultato quello del 2002 (6 giugno) con l'acqua che ha sfiorato, peraltro, per poche ore, Via don P. Carniel. Successivamente, il Comune di Cordignano è intervenuto per eliminare la fuoriuscita delle acque con lavori di sistemazione idraulica. All'altezza del brusco gomito del T. Insuga, in Via Col di Lana, è stato realizzato un by-pass con uno scotolare da m 2x2 in maniera da facilitare il deflusso delle acque nell'alveo incassato del torrente.

Per quanto riguarda il rischio di esondabilità, nella Carta delle Fragilità del P.A.T. l'area non rientra nelle "aree esondabili o a periodico ristagno idrico".

- il Riuo di Villa, che proviene da nord e che scorre ad una distanza minima di 120 m dall'angolo di nord-est. Ha carattere temporaneo. Risultata arginato e, a tratti, intubato;
- il Torrente Insuga, che scorre a sud-ovest, ad una distanza minima di 150 m. Nei pressi della Via Col di Lana presenta un brusco gomito ad angolo retto. E' incassato e ha carattere per lo più permanente;
- il Riuo Obole, che scorre a sud-ovest ad una distanza minima di 7÷800 m;
- il Torrente Friga e il Fiume Meschio, che scorrono a sud-ovest ad una distanza minima di 1.400 m.

Quanto all'idrografia, i corsi d'acqua più vicini sono:

Tutta la zona comprendente l'area oggetto d'intervento è subpianeggiante. Le pendenze sono dell'ordine del 2,5 ÷ 3 % o poco più, verso sud. L'area è situata su due superfici leggermente sfalsate e separate, in parte, da un fosso profondo all'incirca 0,50 m. La parte a monte risulta rialzata di circa 1 m. Perimetrata, sui lati nord-est ed est, l'area è limitata da un fosso che raccoglie gli scoli delle acque piovane provenienti da nord, comprendendo anche quelle che defluiscono dalla scarpata, alla circa 3 m, che sostiene il soprastante campo sportivo. Queste acque, presenti solo temporaneamente, si scaricano nel materasso ghiaioso fluvio-laciale tramite un pozzo perdente, realizzato in passato al limite con la via don P. Carniel.

3. MORFOLOGIA E IDROGRAFIA

Questo pacchetto di sedimenti, da classificare genericamente come alluvioni pedecollinari, colluviali, poggia da una bibliografia esistente, può anche superare la decina di metri e la cui origine è legata alla presenza di correnti fluvio-glaciali che, in passato (LGM - Ultimo Massimo Glaciale), provenivano dall'anfiteatro di Vittorio Veneto (conoidi del F. Meschio).

Il modello stratigrafico del terreno, ricostruito sulla base di n. 13 prove penetrometriche dinamiche, n. 1 prove penetrometriche statiche (profondità massima m 7,80; si vedano i diagrammi relativi) e n. 1 sondaggi a rotazione con carotiere a cocea (profondità massima m 3,80; si veda la stratigrafia allegata) è evidenziato nelle sopraccitate sezioni geologiche schematiche.

5. CAMPAGNA DI INDAGINI

Come già detto, sono state effettuate n. 13 prove penetrometriche dinamiche DPM, senza l'uso del rivestimento esterno, utilizzando un penetrometro dinamico medio tipo "DL-30".

La profondità massima raggiunta con le prove penetrometriche è stata di m 7,80 sotto il piano campagna.

Tutte le prove sono state eseguite senza il rivestimento esterno. Ciò ha comportato che, a partire da 6 ÷ 7 m di profondità, i valori riportati nei diagrammi siano risultati sovrastimati a causa dell'attrito laterale tra aste di penetrazione e terreno circostante. Perciò le elaborazioni statistiche dei risultati delle prove, ai fini della determinazione dei parametri geotecnici, oltre tali profondità devono essere valutate con molta cautela in quanto sovrastimate e quindi non attendibili.

Quanto alla stratigrafia dei primi metri, essa è stata determinata con n. 1 sondaggi a rotazione mediante carotiere a coeas da 40 mm. La profondità raggiunta è stata di m 3,80 dal piano campagna (si veda la scheda stratigrafica allegata).

Accanto al sondaggio è stata poi effettuata una prova penetrometrica statica con lo scopo di tarare l'adiacente prova penetrometrica dinamica (n. 5). La prova è stata eseguita utilizzando un penetrometro statico olandese tipo Gouda da 50 kN (≈ 5 t) di spinta e con punta meccanica (si vedano i grafici relativi).

Nello stesso sito, si è proceduto, infine, all'individuazione delle frequenze naturali di risonanza del sottosuolo mediante una prospezione sismica passiva HVSR a "stazione singola" (si vedano gli elaborati in calce alla relazione).

Tutti i dati ottenuti con le indagini di campagna hanno permesso di ricostruire, in grandi linee, la distribuzione stratigrafica dei litotipi proposta nelle sezioni geologiche schematiche allegate.

6. CARATTERISTICHE LITOLOGICHE, IDROGEOLOGICHE E GEOTECNICHE

6.1 Successione litostratigrafica locale

Tramite il sondaggio a rotazione e l'interpretazione delle prove penetrometriche è stato possibile individuare e mediare la seguente stratigrafia (in metri):

0,00 -- 0,40	Terreno agrario limoso-argilloso bruno
0,40 -- 4 ÷ 5,00	Copertura di alluvioni pedecollinari, per lo più fini, riposanti su ghiaie con intercalazioni di lenti ghiaiose di debole spessore: in genere, argilla limoso-sabbiosa bruno-giallastra, a volte con sabbia fine più o meno abbondante, talora, invece, con livelli più francamente sabbiosi (segnalati nelle sezioni con dei puntini). Riuscitano presenti, in modo discontinuo, lenti di ghiaie eterometriche, calcaree, sabbioso-ciottolese, di forma irregolare e di debole spessore (ordine dei decimetri o del metro o poco più)
sotto i 4 ÷ 5,00	Materasso ghiaioso fluvio-glaciale: ghiaia eterometrica poligenica sabbioso-ciottoleosa

Si tratta di una sequenza di materiali dapprima argilloso-limoso-sabbiosi (nei primi 4 ÷ 5 m), da poco consistenti (consistenza molle) a moderatamente consistenti (consistenza media), disomogenei per la presenza di lenti ghiaiose variamente distribuite, poi (sotto i 4 ÷ 5 m), ghiaiosi, da mediamente addensati a molto addensati.

6.2 Distribuzione spaziale dei litotipi

La stratigrafia proposta, riscontrata direttamente con il sondaggio a rotazione e indirettamente con l'interpretazione delle prove penetrometriche, risulta arealmente estesa, denotando una sostanziale uniformità nello spessore del pacchetto di copertura (i primi 4 ÷ 5 m) al di sopra del materasso ghiaioso fluvio-glaciale di base, presente ovunque, e una discreta eterogeneità litologica all'interno della stessa copertura, causata da discontinua

Circa il grado di penalità ai fini edificatori, nella Carta di dettaglio del P.R.G. (1992) l'area è stata inserita nella classe "terreno medio-cre-scadente" a causa, soprattutto, delle caratteristiche geotecniche molto variabili, mentre nella Carta delle Fragilità, come già detto fin dall'inizio, l'area risulta "idonea a condizione".

Per quanto concerne il verificarsi del fenomeno di liquefazione di strati del sottosuolo in coincidenza di eventi sismici, si ritiene che ciò sia da escludere all'interno di tutta l'area interessata dal piano di lottizzazione. Infatti, la stratigrafia evidenzia che le fondazioni dirette saranno incastrate sulla coltre argilloso-limoso-sabbiosa, talora contenente lenti ghiaiose, a sua volta riposante su un materasso ghiaioso, con falda intorno ai 10 m di profondità, situazione questa che non risulta liquefacibile sotto sisma.

In entrambe le condizioni l'area è da considerarsi stabile.

6.5 Stabilità dell'area in condizioni statiche e dinamiche

Circa il materasso ghiaioso fluvio-glaciale, presente sotto i 4÷5 m di profondità, essendo le ghiaie materiali incoerenti, ossia di natura granulare, la coesione efficace $c' = 0$ kPa, mentre l'angolo di resistenza al taglio ϕ' , in condizioni drenate, può essere posto prudentialmente uguale a $35 \div 38^\circ$ con un ϕ'^{simico} da utilizzare pari a $33 \div 36^\circ$. Il peso di volume naturale risulta di $19 \div 20$ kN/m³ (10 kN = ~ 1 t), mentre il peso di volume immerso γ' è uguale a 10 kN/m³, parametro, questo, da utilizzare solo in caso di edifici con piano interrato colà posizionato e supposto che l'acqua si rinvenga o possa alzarsi fino ad una profondità minore di B, misurata dal piano di posa della fondazione (con B = larghezza della platea di fondazione).

Quanto al peso di volume γ , può essere posto uguale a $17 \div 18$ kN/m³ in entrambi i casi.

Nel caso, invece, si considerino di natura coesiva, la coesione non drenata c_u vale $28 \div 30$ kPa mentre l'angolo di resistenza al taglio ϕ_u , in condizioni non drenate, vale 0° .

Nel caso si considerino di natura granulare, l'angolo di resistenza al taglio ϕ' , in condizioni drenate, può essere posto prudentialmente uguale a $27 \div 28^\circ$. Considerato che si è in zona sismica va utilizzato un $\phi'^{\text{simico}} = 25^\circ$, mentre la coesione efficace $c' = 0$ kPa.

Per quanto riguarda la copertura argilloso-limoso-sabbiosa dei primi 4÷5 m, i parametri geotecnici medi sono distinti a seconda che i materiali si considerino di natura granulare o di natura coesiva, essendo essi un po' l'altro.

6.4 Parametri geotecnici dei terreni interessati dalle tensioni indotte

Circa la permeabilità dei terreni, essa risulta bassa nella coltre argilloso-limoso-sabbiosa (coeff. di permeabilità k dell'ordine di $10^{-4} \div 10^{-6}$ cm/sec) per cui il drenaggio è povero, mentre è da considerarsi media nelle lenti ghiaiose di conoidi e nel materasso fluvio-glaciale di base (coeff. di permeabilità k dell'ordine di 10^{-3} cm/sec o poco più), dove il drenaggio risulta buono.

Circa la permeabilità dei terreni, essa risulta bassa nella coltre argilloso-limoso-sabbiosa (coeff. di permeabilità k dell'ordine di $10^{-4} \div 10^{-6}$ cm/sec) per cui il drenaggio è povero, mentre è da considerarsi media nelle lenti ghiaiose di conoidi e nel materasso fluvio-glaciale di base (coeff. di permeabilità k dell'ordine di 10^{-3} cm/sec o poco più), dove il drenaggio risulta buono.

Negli altri fori di prova penetrometrica si sono notati gocciolamenti d'acqua in prossimità delle sottili lenti ghiaiose, disperse nei terreni fini argilloso-limoso-sabbiosi. Considerata la differenza permeabilità è abbastanza ovvio che le lenti ghiaiose contengano vene d'acqua e/o piccole falde sospese.

Negli altri fori di prova penetrometrica si sono notati gocciolamenti d'acqua in prossimità delle sottili lenti ghiaiose, disperse nei terreni fini argilloso-limoso-sabbiosi. Considerata la differenza permeabilità è abbastanza ovvio che le lenti ghiaiose contengano vene d'acqua e/o piccole falde sospese.

Per quanto riguarda l'acqua sotterranea, è stata rinvenuta presenza di acqua solo nel foro della prova penetrometrica n. 11, alla profondità di m 6,50. Probabilmente si tratta di una prima falda sospesa in corrispondenza di un tratto sabbioso, in quanto, dai dati dei pozzi della zona, la falda freatica dovrebbe essere posizionata intorno ai 10 m circa sotto il piano campagna.

6.3 Profondità e tipo di falda. Considerazioni idrogeologiche

Per quanto riguarda l'acqua sotterranea, è stata rinvenuta presenza di acqua solo nel foro della prova penetrometrica n. 11, alla profondità di m 6,50. Probabilmente si tratta di una prima falda sospesa in corrispondenza di un tratto sabbioso, in quanto, dai dati dei pozzi della zona, la falda freatica dovrebbe essere posizionata intorno ai 10 m circa sotto il piano campagna.

Per quanto riguarda l'acqua sotterranea, è stata rinvenuta presenza di acqua solo nel foro della prova penetrometrica n. 6.

Circa la categoria topografica, il sito rientra nella categoria T1 (Superficie pianeggiante, pendii e rilievi isolati con inclinazione media $i \leq 15^\circ$).

per la definizione dell'azione sismica si può fare riferimento, prendendola come riferimento, ad una categoria di sottosuolo di tipo C "Depositi di terreni a grana grossa mediamente addensati o terreni a grana fina mediamente consistenti" con spessori superiori a 30 m, caratterizzati da un gradale miglioramento delle proprietà meccaniche con la profondità e da valori di $V_{a,30}$ compresi tra 180 m/s e 360 m/s (ovvero $15 < N_{spr,30} < 50$ nei terreni a grana grossa e $70 < c_{u,30} < 250$ kPa nei terreni a grana fina).

- a) unica determinazione strumentale della $V_{a,30}$;
 b) variabilità litologica all'interno della sovraccopertura argilloso-limoso-sabbiosa (con V_s , almeno in superficie, inferiore a 360 m/s) che fa prevedere amplificazioni locali (effetto di sito);
 c) vicinanza del nodo sismico di Caneva, dove l'incontro di diverse strutture tettoniche (faglia di Montaner, sovrascorrimento del Cansiglio) potrebbe provocare un aumento degli effetti sismici, rendendo più gravosi i danni.

motivi:

Analizzando il profilo di velocità delle onde S (V_s), allegato in calce alla relazione e determinato con la prospezione sismica, si ricava una velocità delle onde di taglio $V_{a,30}$, nei primi 30 m di profondità, di circa 500 m/s. Tale velocità farebbe rientrare l'area in esame nella categoria di sottosuolo di tipo B, tuttavia, per i sottostrati

8.2 Categoria di sottosuolo e condizioni topografiche

I dati appaiono propri di un gradale e progressivo miglioramento delle condizioni meccaniche del sottosuolo sino a rilevanti profondità.

Sull'utilizzo di questo dato, si ricorda che è di fondamentale importanza porre attenzione ai fenomeni di "doppia risonanza", cioè alla corrispondenza tra le frequenze fondamentali del segnale sismico, così come trasmesso dal terreno in superficie, e quelle dei manufatti ivi edificati. Qualora si verificasse la condizione dove le frequenze naturali di risonanza degli edifici siano pressoché uguali alle frequenze naturali del sottosuolo (coperture), si può verificare una situazione di potenziale pericolo in quanto si avrebbe la massima amplificazione in caso di sisma con aumento considerevole delle sollecitazioni sugli edifici. In questo caso, la coincidenza di risonanza tra strutture e terreno sarà oggetto, da parte dei progettisti, di studi più approfonditi ai fini di una adeguata valutazione.

La frequenza naturale o caratteristica o fondamentale del terreno si pone, perciò, a 11,09 Hz.

Sito di indagine	H/V
Frequenza max H/V	11,09 Hz

Sulla base dell'elaborazione (come da sottostante tabella riassuntiva delle frequenze registrate in un range da 0,0 a 64,0 Hz), il sito esaminato presenta un solo particolare picco di risonanza riscontrabile (11,09 Hz).

La prova si è svolta in condizioni di basso rumore antropico (vicinanza di una strada con modesto traffico – sorgente primaria antropica di disturbo).

La misura del rumore sismico nel punto d'indagine (coordinate WGS84: lat. N 45,963229; long. E 12,412552 – coordinate ED50: lat. N 45,964122; long. E 12,413545), ubicato nei pressi della prova penetrometrica n. 5, ha avuto una durata di 26 minuti ed è stata eseguita con una frequenza di campionamento di 128 Hz.

La misura del rumore sismico nel punto d'indagine (punte) ed orientando uno dei tre sensori di acquisizione (ortogonali tra loro) verso il nord magnetico. Per l'analisi dei dati acquisiti è stato adottato l'apposito software "Gmlia".

9. CONCLUSIONI

In considerazione di quanto indicato nella relazione e nella cartografia geologica relativa al P.R.G. (1992) nonché nelle varie carte tematiche del P.A.T., di cui si allegano gli estratti, e visti i risultati dell'indagine geognostica, esposti nei precedenti paragrafi, si può concludere affermando che le previsioni del Piano di Lottizzazione "Belvedere" sono compatibili con la situazione geologica, morfologica, idrografica ed idrogeologica dell'area studiata.

Vittorio Veneto, 09.03.2015

dott. geol. Mario Piccin



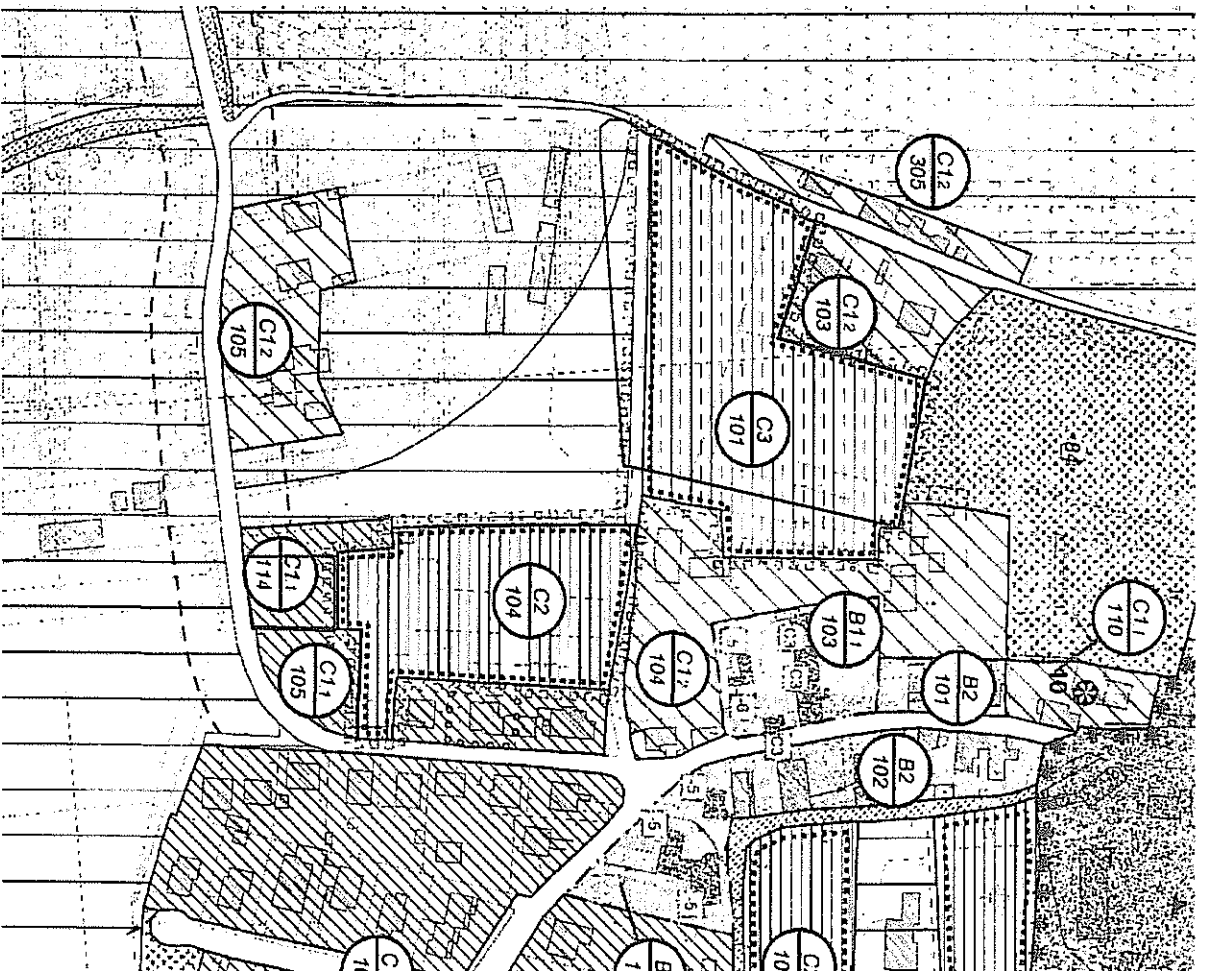


L'AREA D'INTERVENTO VISTA DALL'ANGOLO DI SUD-OVEST

LEGENDA:

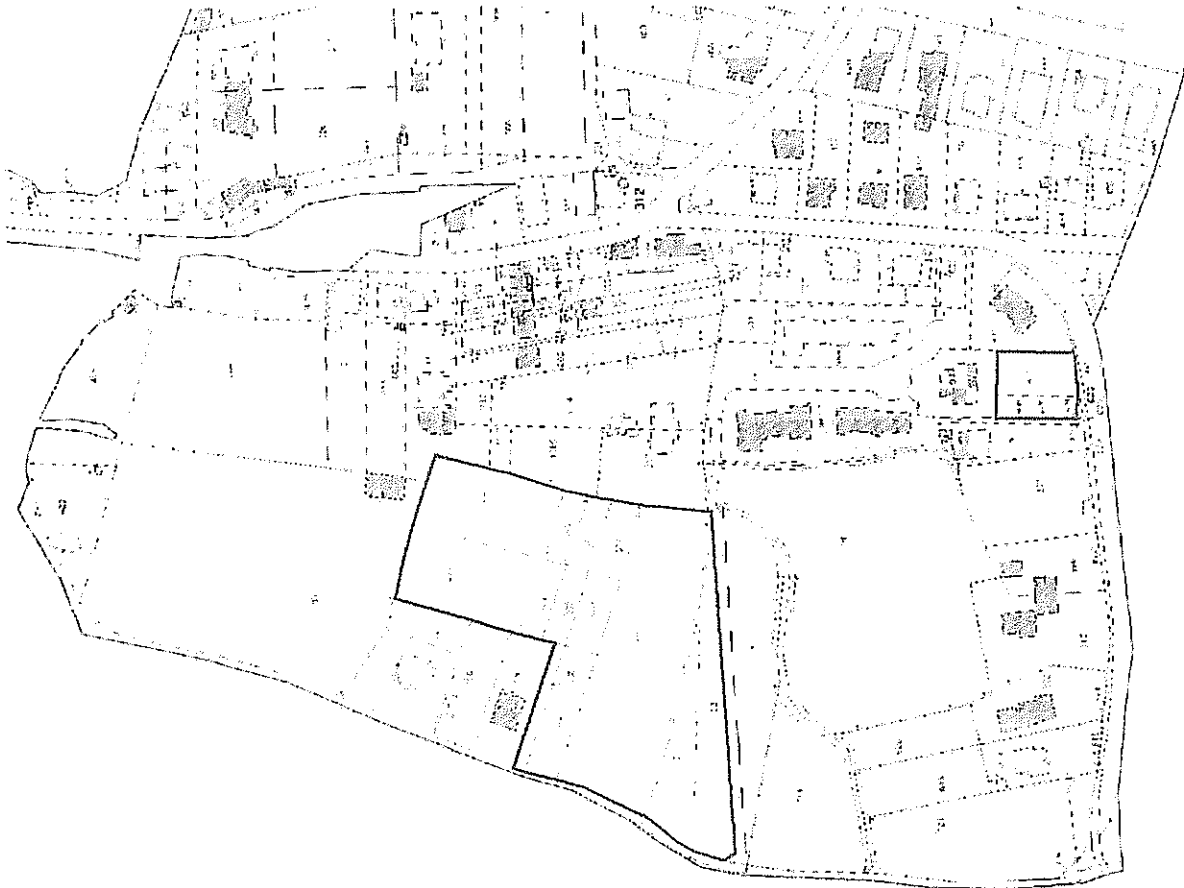
1 - ZONIZZAZIONE

-  Zona A centro storico e nucleo storico
-  Zona B1.1 completamento di valore ambientale di conservazione
-  Zona B1.2 completamento di valore ambientale di riqualificazione
-  Zona B2 completamento intensivo
-  Zona C1.1 completamento di conferma stato di fatto
-  Zona C1.2 completamento estensivo
-  Zona C2 Espansione di nuova formazione
-  Zona C3 espansione di nuova formazione mista residenziale e servizi
-  Riforimento zona territoriale omogenea - numero area omogenea



Ambito di intervento

Estratto P.R.G. vigente - Scala



Suddivisione fasi d'intervento

Ambito A

Ambito B

RELAZIONE ILLUSTRATIVA

L'art. 7 della L.R. 11/04 ha sancito l'ingresso dell'Accordo di programma nella legislazione urbanistica veneta, presentandolo come strumento generale di microprogrammazione e di integrazione degli strumenti urbanistici comunali. E' stato così evidenziato il ruolo ordinario assunto dalle forme negoziate di programmazione e per la condivisione ed attuazione delle scelte programmatiche.

L'accordo di programma ai sensi della L.R. 11/04 assume particolare rilevanza soprattutto per l'Amministrazione Comunale che diventa protagonista principale dell'azione amministrativa di concerto con i vari attori protagonisti. In questo caso le motivazioni che hanno portato alla predisposizione di un Accordo di programma, trovano origine nella necessità della ridefinizione dei contenuti del vigente Piano Regolatore Generale sia sotto il profilo di una ottimizzazione dei parametri urbanistico-edilizi apportando alcuni aggiustamenti atti a tutelare sia lo sviluppo equilibrato del territorio sia a garantire all'Amministrazione comunale le opere di urbanizzazione necessarie alla collettività.

II PRG VIGENTE ED IL PAT APPROVATO

Il Comune di Cordignano, è dotato di Piano Regolatore Generale, approvato dalla Giunta Regionale con deliberazione n. D.G.R.V. n. 1145 del 18/03/2005.

Lo strumento di pianificazione generale ha previsto, sin dall'origine, l'espansione della zona residenziale della frazione di Villa di Villa nell'area ricompresa tra Via Aquileia e strada del Pontedel. Su quest'area il piano regolatore aveva indicato la possibilità di consolidare il nucleo residenziale esistente ed ampliarlo prevedendo nuove aree di espansione.

Nello specifico l'accordo è suddiviso in due ambiti che il vigente P.R.G., ora Piano degli interventi, classifica come: ambito "A" zona territoriale omogenea C1.1 "Zona residenziale di conferma dello stato di fatto", ambito che concede l'ampliamento del 20% per i fabbricati esistenti e la nuova edificazione per i lotti edificati individuati.

ambito "B" zona territoriale omogenea C3 "Zona residenziale di espansione per residenza e servizi" ove oltre alla preventiva approvazione di un P.U.A. prescrive anche il reperimento e la realizzazione di un parcheggio pubblico quale opera aggiuntiva agli oneri di urbanizzazione primari e secondari.

STATO DI FATTO		AMBITO B	
AMBITO A	C1.1	Z.T.O.	C3
SUPERFICIE	851 mq	SUPERFICIE	14.311 mq
INDICE (densità fondiaria esistente + 20%)	0,00 mc	INDICE	0,70 mc/mq
VOLUMETRIA	0,00 mc	VOLUMETRIA	10.018 mc
STANDARD SECONDARI	-	Realizzazione parcheggio	12 %
		Z.T.O.	



SCALA 1:10.000

Art.	Descrizione	Simbolo
Art. 19	Area suscettibile di instabilità	[Linea tratteggiata]
Art. 10	Area suscettibile di impolluzioni sismiche	[Linea a tratti più lunghi]
Art. 22	Zona di tutela - corsi d'acqua principali	[Linea continua]
Art. 20	Area di interesse storico, ambientale o artistico	[Linea a piccoli tratti]
Art. 12	Area boschiva o destinata a rimboscimento	[Linee verticali parallele]
	Area comparsa	[Linee orizzontali parallele]
	Area soggetta a sfruttamento carsico	[Linee a zigzag]
	Area di fauna	[Linea continua]
	Area residenziale o patrimoniale restringo storico	[Linea continua]
Art. 42 Art. 19	Area soggetta a dissesto idrogeologico	[Linea continua]
	Terroni non idonei	[Area grigiata]
	Terroni idonei a condottare	[Area bianca]
Art. 42 Art. 19	Frontiera ai fini edificatori	[Linea a piccoli quadrati]
	Confine Comune	[Linea a piccoli quadrati]

N.T.A. N.T.A.
P.A.T.I. P.A.T.I.

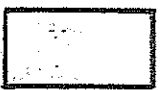
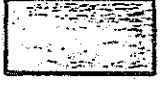
LEGENDA

1:10.000

3 Carta delle Fragilità

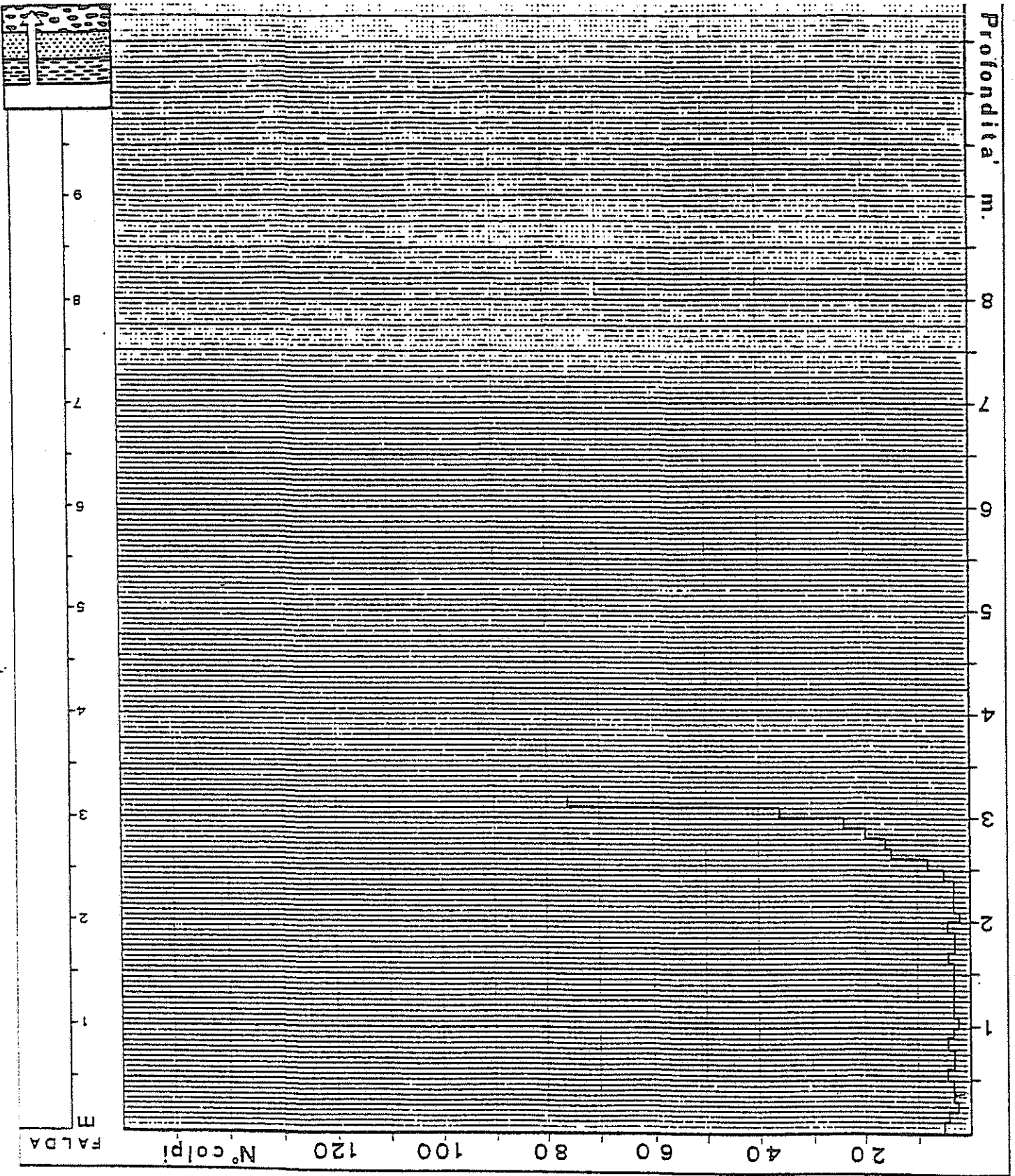
LEGENDA

dell'estratto della CARTA GEOLITOGICA DI DETTAGLIO scala 1: 5.000
P.R.G. (1992)

- 1 riporti artificiali, generalmente su argille con sabbie e limi 
- 2 coperture detritiche grossolane a prevalente composizione calcarea su argille con sabbie e limi 
- 3 depositi di conoide in debole spessore 
- 4 alluvioni prevalentemente ghiaiose 
- 5 alluvioni prevalentemente sabbiose su ghiaie 
- 6 argille con sabbie e limi, fittamente alternanti ed interstratificate 
- 7 conglomerati 
- 8 calcari grigi, marmorino, breccie calcaree superficiali (su calcari) 
- limiti di sovrascorrimento 
- laglie 
- glaciture 
- sondaggi e scavi 
- trincee 
- sondaggi sismici 
- SS5 
- prove penetrometriche dinamiche 

PENETROMETRIA P 8

SEZIONE GEOTECNICA _____
 COMMITTENTE Comune di Cordignano QUOTA 64 m s.l.m.
 OPERATORE _____ PROFONDITA' 3.20 m
 ATREZZO Pen. Dinam. Leggero LOCALITA' Villa di Villa
 NOTE _____ DATA 31.08.1989



FALDA
 m

FAB. 1

SONDAGGI SISMICI A RIFRAZIONE

Sondaggi effettuati nel 1986				Sondaggi effettuati nel 1990			
Denominazione	Strato N°	Valori di VL (m/sec)	Spessore	Denominazione	Strato N°	Valori di VL (m/sec)	Spessore
SS 1	1	450	1,7	SS 1A	1	209	2,1
	2	1300	11,0		2	870	10,7
	3	2080			3	1812	
SS 2	1	660	1,9	SS 1A (contigato, breve)	1	339	2,0
	2	4000			2	625	3,4
SS 3	1	350	2,8	SS 2A	1	399	1,4
	2	2500			2	1006	1,7
				SS 3A	1	321	2,7
					2	787	2,5
					3	1099	

UBICAZIONE INDAGINI GEOTECNICHE

Scala approssimativa 1 : 725



- Prova penetrometrica dinamica
- Prova penetrometrica statica
- ▼ Sondaggio a rotazione
- Traccia di sezione geologica schematica

